

SO 251-00 PHS V KM 17,950-18,870 DIAĽNICE D1 BRATISLAVA-TRNAVA,
VPRAVO, SPODNÁ STAVBA
SO 252-00 PHS V KM 0,040-0,400 VETVY B KRIŽOVATKY TRIBLAVINA, VPRAVO
SO 253-00 PHS V KM 18,485 – 18,955 NA KOLEKTOROVOM PÁSE BRATISLAVA –
SENEC, VPRAVO

STATICKÝ VÝPOČET

1.	Identifikačné údaje	3
2.	Úvod.....	3
2.1	Predmet výpočtu	3
2.1.1	Základné údaje o PHS	3
2.2	Podklady	3
2.3	Použité normy, technické podmienky, programy a literatúra	3
2.3.1	Normy	3
2.3.2	Technické podmienky, smernice	3
2.3.3	Výpočtové programy	4
2.3.4	Literatúra.....	4
3.	Zaťaženie	4
3.1	Stále zaťaženie	4
3.2	Premenné zaťaženie	4
3.2.1	Zaťaženie vetrom – podľa STN EN 1991-1-4	4
3.2.2	Zaťaženie dynamickým tlakom – podľa STN EN 1794-1	6
4.	Návrh nosnej konštrukcie	7
4.1	Použitý materiál.....	7
4.2	Statická schéma.....	7
4.3	Prierezové charakteristiky a materiál	7
4.4	Bodové sily v uzle	8
4.5	Spojité zataženie na prúte.....	8
4.6	Zaťažovacie stavy a kombinácie	9
4.6.1	Zaťažovacie stavy	9
4.6.2	Kombinácie	9
4.6.3	Kľúč kombinácie	9
4.7	Dimenzačné veličiny.....	9
4.7.1	Reakcie	9
4.7.2	Vnútorné sily	9
4.7.3	Deformácie.....	10
4.8	Posúdenie prierezu	13
5.	Návrh kotvenia PHS pre h=4,0m a 4,5m.....	14
5.1	Použitý materiál.....	14
5.2	Statická schéma.....	14
5.3	Zaťaženie	15
5.4	Posúdenie kotvenia	15
5.4.1	Hodnoty použité na výpočet	15
5.4.2	Posúdenie odolnosti proti strihu	15
5.4.3	Posúdenie odolnosti proti otlačeniu	15
5.4.4	Posúdenie odolnosti proti tahu	16
5.4.5	Posúdenie odolnosti proti pretlačeniu matice	16
5.4.6	Posúdenie kombinácie strihu a tahu	16
6.	Návrh kotvenia PHS pre h=5,5m.....	16
6.1	Súčinitele výpočtu	16
6.2	Vstupné údaje	17
6.3	Posúdenie kotvenia	17
7.	Návrh zakladania PHS.....	19
7.1	Použitá výpočtová metóda	19

7.2	Použitý materiál.....	19
7.3	Návrh a posúdenie pilót pre SO 251-00.....	19
7.4	Návrh a posúdenie pilót pre SO 252-00 a SO 253-00.....	27
8.	Záver	34

1. Identifikačné údaje

Názov stavby:	Diaľnica D1 Bratislava – Trnava, križovatka Triblavina
Časť stavby:	SO 251-00 PHS v km 17,950 – 18,870 diaľnice D1 Bratislava-Trnava, vpravo, spodná stavba
	SO 252-00 PHS v km 0,040-0,400 vetvy B križovatky Triblavina, vpravo
	SO 253-00 PHS v km 18,485 – 18,955 na kolektorovom páse Bratislava – Senec, vpravo
Kraj:	VÚC Bratislavský samosprávny kraj
Okres:	Senec
Katastrálne územie:	Chorvátsky Grob, Bernolákovo
Druh stavby:	novostavba

2. Úvod

2.1 Predmet výpočtu

Predmetom tohto statického výpočtu je návrh a posúdenie hlavných nosných prvkov protihlukovej steny, založenej na základovej konštrukcii..

2.1.1 Základné údaje o PHS

Max. výška steny :	5,50m
Celková dĺžka steny :	1224,00m, 69,00m , 763,00m
Vzdialenosť líca zvodidla od osi PHS :	1,65m
Počet dilatačných celkov :	3, 1, 1
Zaťaženie steny :	Podľa STN EN 1991

2.2 Podklady

R-PROJECT INVEST s.r.o. Bratislava.

2.3 Použité normy, technické podmienky, programy a literatúra

2.3.1 Normy

- STN EN 1990 – Eurokód. Zásady navrhovania konštrukcií.
- STN EN 1991 – Eurokód 1. Zaťaženia konštrukcií.
- STN EN 1993 – Eurokód 3. Navrhovanie oceľových konštrukcií.
- STN EN 1997 – Eurokód 7. Navrhovanie geotechnických konštrukcií.
- STN EN 1536 – Vykonávanie špeciálnych geotechnických prác. Vŕtané pilóty.
- STN 73 1001 – Geotechnické konštrukcie. Zakladanie stavieb.
- STN 73 1002 – Pilótové základy.
- STN EN 1794-1 – Zariadenia na zníženie hluku z cestnej dopravy. Neakustické vlastnosti.
Časť 1: Mechanické vlastnosti a požiadavky na stabilitu.

2.3.2 Technické podmienky, smernice

- TP 03/2006 - Základné náležitosti dokumentácie na stavebné povolenie (DSP)
- TKP 29 – Protihlukové clony

Ostatné súvisiace STN EN a Technické podmienky

2.3.3 Výpočtové programy

Scia Engineer, MS Office

2.3.4 Literatúra

Manuál k programu Scia Engineer

3. Zaťaženie

3.1 Stále zaťaženie

Vlastná tiaž:

Vlastná tiaž konštrukcie G_{0K} bola generovaná v programe Scia Engineer.

Ostatné stále zaťaženie G_{1K} :

- výplň PHS (AL) 17,0 kg/m²: $0,17 \frac{\text{kN}}{\text{m}^2} \cdot 4,0\text{m} \cdot 1,35 = \frac{0,918\text{kN}}{\text{m}} \cdot (h - 1)\text{m}$

- výplň PHS (AL) 29,0 kg/m²: $0,29 \frac{\text{kN}}{\text{m}^2} \cdot 4,0\text{m} \cdot 1,35 = \frac{1,566\text{kN}}{\text{m}} \cdot (h - 1)\text{m}$

- výplň PHS (metakrylát) 17,6 kg/m²: $0,176 \frac{\text{kN}}{\text{m}^2} \cdot 4,0\text{m} \cdot 1,35 = \frac{0,9504\text{kN}}{\text{m}} \cdot (h - 1)\text{m}$

- soklový hliníkový panel 29,0 kg/m²: $0,29 \frac{\text{kN}}{\text{m}^2} \cdot 4,0\text{m} \cdot 1,0\text{m} \cdot 1,35 = 1,566\text{kN}$

- soklový ŽB panel 2300 kg/m³: $23 \frac{\text{kN}}{\text{m}^3} \cdot 0,13\text{m} \cdot 1,0\text{m} \cdot 4,0\text{m} \cdot 1,35 = 16,146\text{kN}$

$$\text{AL17+ŽB;4m} \quad F_1 = 0,918\text{kN} \cdot 3,0\text{m} + 16,146\text{kN} = \mathbf{18,900\text{kN}}$$

$$\text{AL17+ŽB;4,5m} \quad F_2 = 0,918\text{kN} \cdot 3,5\text{m} + 16,146\text{kN} = \mathbf{19,359\text{kN}}$$

$$\text{ALMK+AL;4m} \quad F_3 = 0,9504\text{kN} \cdot 3,0\text{m} + 1,566\text{kN} = \mathbf{4,417\text{kN}}$$

$$\text{AL29+ŽB;5,5m} \quad F_4 = 1,566\text{kN} \cdot 4,5\text{m} + 16,146\text{kN} = \mathbf{23,193\text{kN}}$$

3.2 Premenné zaťaženie

3.2.1 Zaťaženie vetrom – podľa STN EN 1991-1-4

Základná rýchlosť vetra (čl.4.2): $v_b = c_{dir} \cdot c_{season} \cdot v_{b,0}$

- fundamentálna rýchlosť vetra (tab.NB1): $v_{b,0} = 26\text{m/s}$
- kategória terénu (tab.4.1): II
- referenčná výška: $z_e = 4,0\text{m}$, pre oblasť B $\rightarrow z_e = 3,0\text{m}$
- osová vzdialenosť stĺpikov: $l_s = 4,0\text{m}$
- špičkový tlak vetra (tab.NB2): $q_{p,z} = 0,744\text{kPa}$
- pomerná plnosť (čl.7.4): $\varphi = 1,0$
- súčinitel vonkajšieho tlaku vetra (tab.7.9): $c_{p,net1} = 3,4 \dots \text{pre oblasť A}, l/h \geq 10$
 $c_{p,net2} = 2,1 \dots \text{pre oblasť B}, l/h \geq 10$
 $c_{p,net3} = 1,7 \dots \text{pre oblasť C}, l/h \geq 10$
 $c_{p,net4} = 1,2 \dots \text{pre oblasť D}, l/h \geq 10$
- vzdialenosť oblastí pôsobenia tlakov:

Oblast' A	0 ↔ 0,3xh	1,2 m
Oblast' B	0,3xh ↔ 2xh	8, m
Oblast' C	2xh ↔ 4xh	16, m
Oblast' D	4xh a viac	16, m a viac

- tlak vetra na povrchy (čl.5.2): $w_{e,B,k} = q_p(z_e) \cdot c_{p,net2} = 0,744 \cdot 2,1 = 1,562 kN/m^2$
- $w_{e,C,k} = q_p(z_e) \cdot c_{p,net3} = 0,744 \cdot 1,7 = 1,265 kN/m^2$
- $w_{e,D,k} = q_p(z_e) \cdot c_{p,net4} = 0,744 \cdot 1,2 = 0,893 kN/m^2$

- spojité líniové charakteristické zaťaženie:

$$q_{w,B,k} = w_{e,B,k} \cdot l_s = 1,562 \cdot 4,0 = 6,250 kN/m^1$$

$$q_{w,C,k} = w_{e,C,k} \cdot l_s = 1,265 \cdot 4,0 = 5,059 kN/m^1$$

$$q_{w,D,k} = w_{e,D,k} \cdot l_s = 0,893 \cdot 4,0 = 3,571 kN/m^1$$

- spojité líniové návrhové zaťaženie pre výpočet v programe Scia Engineer:

$$q_{w,B,d} = q_{w,B,k} \cdot \gamma_f = 6,250 \cdot 1,5 = 9,374 kN/m^1$$

$$q_{w,C,d} = q_{w,C,k} \cdot \gamma_f = 5,059 \cdot 1,5 = 7,589 kN/m^1$$

$$q_{w,D,d} = q_{w,D,k} \cdot \gamma_f = 3,571 \cdot 1,5 = 5,357 kN/m^1$$

- referenčná výška: $z_e = 4,5 m$
- osová vzdialenosť stĺpikov: $l_s = 4,0 m$
- špičkový tlak vetra (tab.NB2): $q_{p,z} = 0,779 kPa$
- pomerná plnosť (čl.7.4): $\varphi = 1,0$
- súčinitel vonkajšieho tlaku vetra (tab.7.9): $c_{p,net1} = 3,4 \dots \text{pre oblasť A}, l/h \geq 10$
 $c_{p,net2} = 2,1 \dots \text{pre oblasť B}, l/h \geq 10$
 $c_{p,net3} = 1,7 \dots \text{pre oblasť C}, l/h \geq 10$
 $c_{p,net4} = 1,2 \dots \text{pre oblasť D}, l/h \geq 10$
- vzdialenosť oblastí pôsobenia tlakov:

Oblast A	$0 \leftrightarrow 0,3xh$	1,35 m
Oblast B	$0,3xh \leftrightarrow 2xh$	9, m
Oblast C	$2xh \leftrightarrow 4xh$	18, m
Oblast D	4xh a viac	18, m a viac

- tlak vetra na povrchy (čl.5.2): $w_{e,B,k} = q_p(z_e) \cdot c_{p,net2} = 0,779 \cdot 2,1 = 1,636 kN/m^2$
- $w_{e,C,k} = q_p(z_e) \cdot c_{p,net3} = 0,779 \cdot 1,7 = 1,324 kN/m^2$
- $w_{e,D,k} = q_p(z_e) \cdot c_{p,net4} = 0,779 \cdot 1,2 = 0,935 kN/m^2$

- spojité líniové charakteristické zaťaženie:

$$q_{w,B,k} = w_{e,B,k} \cdot l_s = 1,636 \cdot 4,0 = 6,544 kN/m^1$$

$$q_{w,C,k} = w_{e,C,k} \cdot l_s = 1,324 \cdot 4,0 = 5,296 kN/m^1$$

$$q_{w,D,k} = w_{e,D,k} \cdot l_s = 0,935 \cdot 4,0 = 3,740 kN/m^1$$

- spojité líniové návrhové zaťaženie pre výpočet v programe Scia Engineer:

$$q_{w,B,d} = q_{w,B,k} \cdot \gamma_f = 6,544 \cdot 1,5 = 9,816 kN/m^1$$

$$q_{w,C,d} = q_{w,C,k} \cdot \gamma_f = 5,296 \cdot 1,5 = 7,944 kN/m^1$$

$$q_{w,D,d} = q_{w,D,k} \cdot \gamma_f = 3,740 \cdot 1,5 = 5,610 kN/m^1$$

- referenčná výška: $z_e = 5,5 m$
- osová vzdialenosť stĺpikov: $l_s = 4,0 m$
- špičkový tlak vetra (tab.NB2): $q_{p,z} = 0,833 kPa$
- pomerná plnosť (čl.7.4): $\varphi = 1,0$

- súčinitel vonkajšieho tlaku vetra (tab.7.9): $c_{p,net1} = 3,4 \dots \dots \text{pre oblasť A}, l/h \geq 10$
 $c_{p,net2} = 2,1 \dots \dots \text{pre oblasť B}, l/h \geq 10$
 $c_{p,net3} = 1,7 \dots \dots \text{pre oblasť C}, l/h \geq 10$
 $c_{p,net4} = 1,2 \dots \dots \text{pre oblasť D}, l/h \geq 10$
- vzdialenosť oblastí pôsobenia tlakov:

Oblast A	0 \leftrightarrow 0,3xh	1,65 m
Oblast B	0,3xh \leftrightarrow 2xh	11, m
Oblast C	2xh \leftrightarrow 4xh	22, m
Oblast D	4xh a viac	22, m a viac

- tlak vetra na povrchy (čl.5.2): $w_{e,B,k} = q_p(z_e) \cdot c_{p,net2} = 0,833 \cdot 2,1 = 1,749 kN/m^2$
 $w_{e,C,k} = q_p(z_e) \cdot c_{p,net3} = 0,833 \cdot 1,7 = 1,416 kN/m^2$
 $w_{e,D,k} = q_p(z_e) \cdot c_{p,net4} = 0,833 \cdot 1,2 = 1,000 kN/m^2$

- spojité líniové charakteristické zaťaženie:

$$q_{w,B,k} = w_{e,B,k} \cdot l_s = 1,749 \cdot 4,0 = 6,996 kN/m^1$$

$$q_{w,C,k} = w_{e,C,k} \cdot l_s = 1,416 \cdot 4,0 = 5,664 kN/m^1$$

$$q_{w,D,k} = w_{e,D,k} \cdot l_s = 1,000 \cdot 4,0 = 4,000 kN/m^1$$

- spojité líniové návrhové zaťaženie pre výpočet v programe Scia Engineer:

$$q_{w,B,d} = q_{w,B,k} \cdot \gamma_f = 6,996 \cdot 1,5 = 10,494 kN/m^1$$

$$q_{w,C,d} = q_{w,C,k} \cdot \gamma_f = 5,664 \cdot 1,5 = 8,496 kN/m^1$$

$$q_{w,D,d} = q_{w,D,k} \cdot \gamma_f = 4,000 \cdot 1,5 = 6,000 kN/m^1$$

3.2.2 Zaťaženie dynamickým tlakom – podľa STN EN 1794-1

$q_{DT} = q_v \cdot l_s \cdot \gamma_f = 0,8 \cdot 4,0 \cdot 1,5 = 4,8 kN/m^1 \dots$ vzhľadom na zanedbateľnú hodnotu tohto zaťaženia, účinok ďalej nebude uvažovať.

Uvažovať budeme hodnotu zaťaženia dynamickým tlakom v kombinácii s vetrom, na polovičnej zaťažovacej ploche, pod uhlom 45° . Táto kombinácia nám ovplyvní výpočet v oblasti D.

- referenčná výška: $z_e = 4,0 m$
- osová vzdialenosť stĺpikov: $l_s = 4,0 m$

$$q_K = q_{DT} + (0,5 \cdot \cos 45^\circ \cdot q_{w,D,d}) = 4,8 + (0,5 \cdot 0,707 \cdot 5,357) = 6,694 kN/m^1$$

- referenčná výška: $z_e = 4,5 m$
- osová vzdialenosť stĺpikov: $l_s = 4,0 m$

$$q_K = q_{DT} + (0,5 \cdot \cos 45^\circ \cdot q_{w,D,d}) = 4,8 + (0,5 \cdot 0,707 \cdot 5,610) = 6,783 kN/m^1$$

- referenčná výška: $z_e = 5,5 m$
- osová vzdialenosť stĺpikov: $l_s = 4,0 m$

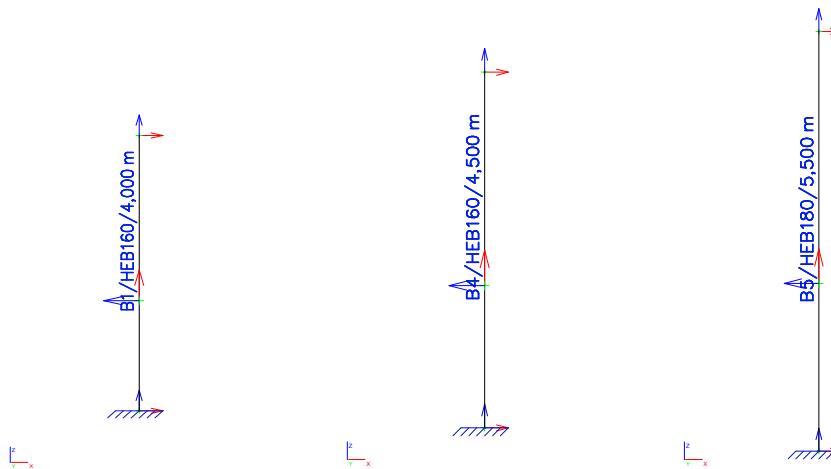
$$q_K = q_{DT} + (0,5 \cdot \cos 45^\circ \cdot q_{w,D,d}) = 4,8 + (0,5 \cdot 0,707 \cdot 6,000) = 6,921 kN/m^1$$

4. Návrh nosnej konštrukcie

4.1 Použitý materiál

ocel' - S 235
 prierez - HEB 160

4.2 Statická schéma



4.3 Prierezové charakteristiky a materiál

>	Názov	CS1	
	Typ	HEB160	
	Popis zdroja	Profil Arbed / Structural shapes / Edition Octobre 1995	
	Materiálová položka	S 235	
	Výroba	valcovaný	
	Vzper y-y, z-z	b	c
>			
>	A [m ₂]	5,4250e-03	
	A y, z [m ₂]	3,5454e-03	1,0928e-03
	I y, z [m ₄]	2,4920e-05	8,8920e-06
	I w [m ₆], t [m ₄]	4,8085e-08	3,1240e-07
	W _e y, z [m ₃]	3,1150e-04	1,1120e-04
	W _p y, z [m ₃]	3,5400e-04	1,7000e-04
	d y, z [mm]	0	0
	c YLSS, ZLSS [mm]	80	80
	alfa [deg]	0,00	

	AL [m₂/m]	9,1813e-01	
>	Názov	CS3	
	Typ	HEB180	
	Popis zdroja	Profil Arbed / Structural shapes / Edition Octobre 1995	
	Materiálová položka	S 355	
	Výroba	valcovaný	
	Vzper y-y, z-z	b	c
>			
>	A [m₂]	6,5250e-03	
	A y, z [m₂]	4,2734e-03	1,3062e-03
	I y, z [m₄]	3,8310e-05	1,3630e-05
	I w [m₆], t [m₄]	9,4023e-08	4,2160e-07
	Wel y, z [m₃]	4,2570e-04	1,5140e-04
	Wpl y, z [m₃]	4,8200e-04	2,3200e-04
	d y, z [mm]	0	0
	c YLSS, ZLSS [mm]	90	90
	alfa [deg]	0,00	
	AL [m₂/m]	1,0371e+00	

Názov	Typ	Merná hmotnosť [kg/m ₃]	E modul [MPa]	Poisson - nu	G modul [MPa]	Tepel. rozt'ažnosť [m/mK]
S 235	Ocel'	7850,00	2,1000e+05	0,3	8,0769e+04	0,01e-003
S 355	Ocel'	7850,00	2,1000e+05	0,3	8,0769e+04	0,01e-003

4.4 Bodové sily v uzle

Názov	Uzol	Zaťažovací stav	Systém	Smer	Typ	Hodnota - F [kN]
F1	N1	LC2	GSS	Z	Sila	-18,90
F2	N21	LC2	GSS	Z	Sila	-18,90
F3	N23	LC2	GSS	Z	Sila	-18,90
F4	N25	LC2	GSS	Z	Sila	-19,36
F5	N28	LC2	GSS	Z	Sila	-23,19

4.5 Spojité zaťaženie na prúte

Názov	Prút	Typ	Smer	P1 [kN/m]	x1	Súrad.	Poč.
	Zaťažovací stav	Systém	Distribúcia	P2 [kN/m]	x2	Pol	Uhол [deg]
vietor1	B1	Sila	X	-9,37	0,000	Rela	Od začiatku

	LC2	GSS	Rovnomerné		1,000	Dĺžka	
vietor2	B2	Sila	X	-7,59	0,000	Rela	Od začiatku
	LC2	GSS	Rovnomerné		1,000	Dĺžka	
d.tlak1	B3	Sila	X	-6,69	0,000	Rela	Od začiatku
	LC2	GSS	Rovnomerné		1,000	Dĺžka	
d.tlak2	B4	Sila	X	-6,78	0,000	Rela	Od začiatku
	LC2	GSS	Rovnomerné		1,000	Dĺžka	
d.tlak3	B5	Sila	X	-6,92	0,000	Rela	Od začiatku
	LC2	GSS	Rovnomerné		1,000	Dĺžka	

4.6 Zaťažovacie stavy a kombinácie

4.6.1 Zaťažovacie stavy

Názov	Typ pôsobenia	Zaťažovacia skupina	Typ zaťaženia	Smer
LC1	Stále	LG1	Vlastná tiaž	-Z
LC2	Stále	LG1	Štandard	

4.6.2 Kombinácie

Názov	Typ	Zaťažovacie stavy	Súč.
Názov	Popis kombinácií		[-]
CO1			
CO1	Obálka - únosnosť	LC1 LC2	1,00 1,00

4.6.3 Klíč kombinácie

Názov	Popis kombinácií
1	LC1*1.00 +LC2*1.00

4.7 Dimenzačné veličiny

4.7.1 Reakcie

Podpera	Stav	Rx [kN]	Rz [kN]	My [kNm]
Sn1/N1	CO1/1	37,50	20,57	74,99
Sn2/N21	CO1/1	30,36	20,57	60,71
Sn3/N23	CO1/1	26,78	20,57	53,55
Sn4/N25	CO1/1	30,52	21,24	68,68
Sn5/N28	CO1/1	38,07	25,96	104,68

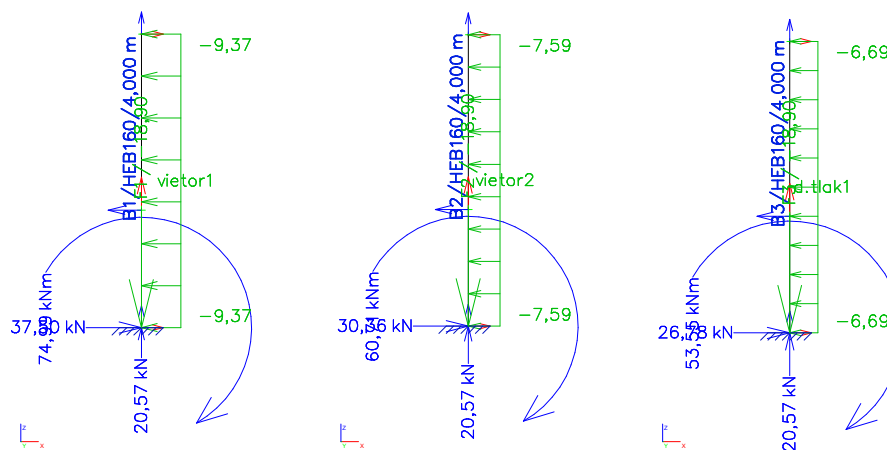
4.7.2 Vnútorné sily

Prút	Stav	dx [m]	N [kN]	Vz [kN]	My [kNm]
B1	CO1/1	0,000	-1,67	-37,50	74,99
B1	CO1/1	4,000	0,00	0,00	0,00

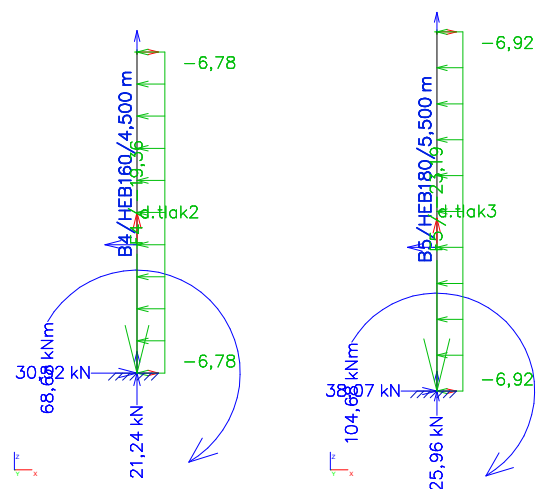
B2	CO1/1	0,000	-1,67	-30,36	60,71
B2	CO1/1	4,000	0,00	0,00	0,00
B3	CO1/1	0,000	-1,67	-26,78	53,55
B3	CO1/1	4,000	0,00	0,00	0,00
B4	CO1/1	0,000	-1,88	-30,52	68,68
B4	CO1/1	4,500	0,00	0,00	0,00
B5	CO1/1	0,000	-2,76	-38,07	104,68
B5	CO1/1	5,500	0,00	0,00	0,00

4.7.3 Deformácie

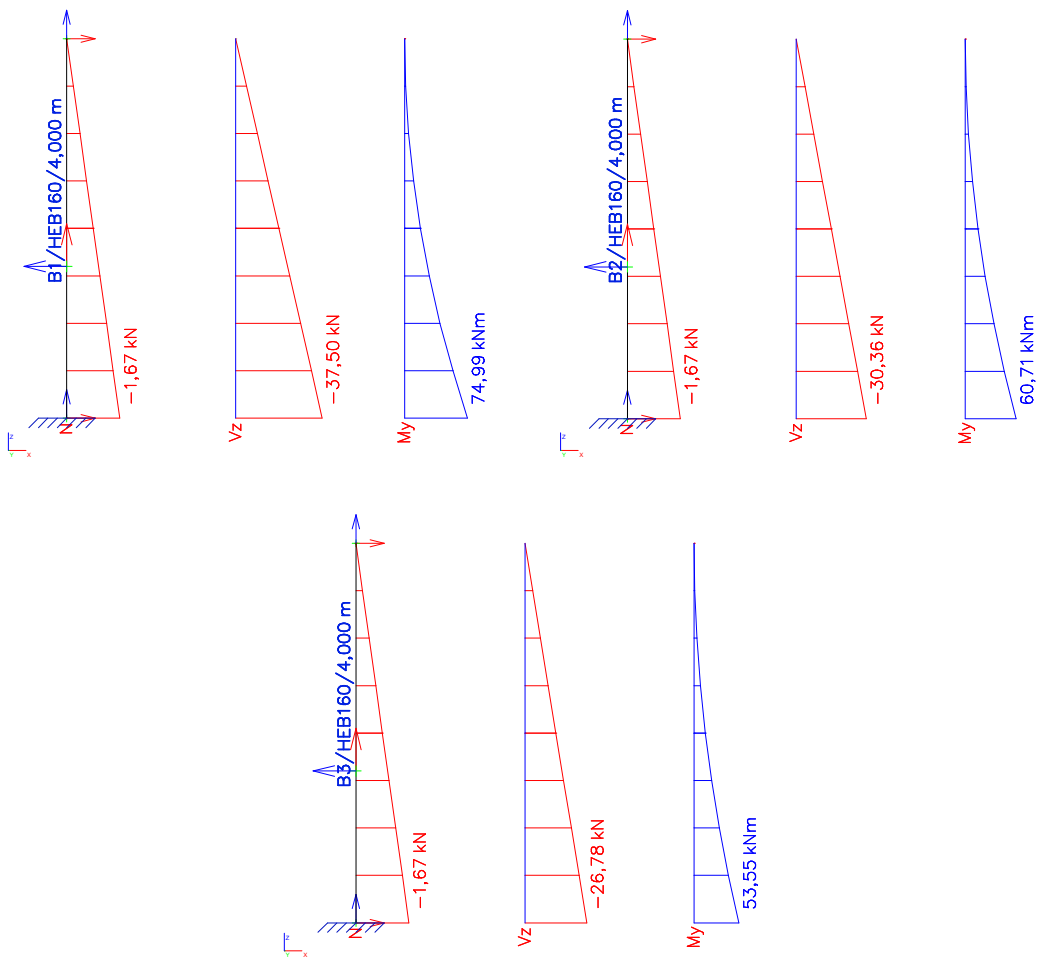
Stav	Prút	dx [m]	uz [mm]	f iy [mrad]
CO1/1	B1	0,000	0,0	0,0
CO1/1	B1	4,000	58,2	-19,1
CO1/1	B2	0,000	0,0	0,0
CO1/1	B2	4,000	47,1	-15,5
CO1/1	B3	0,000	0,0	0,0
CO1/1	B3	4,000	41,5	-13,6
CO1/1	B4	0,000	0,0	0,0
CO1/1	B4	4,500	67,2	-19,7
CO1/1	B5	0,000	0,0	0,0
CO1/1	B5	5,500	99,4	-23,9



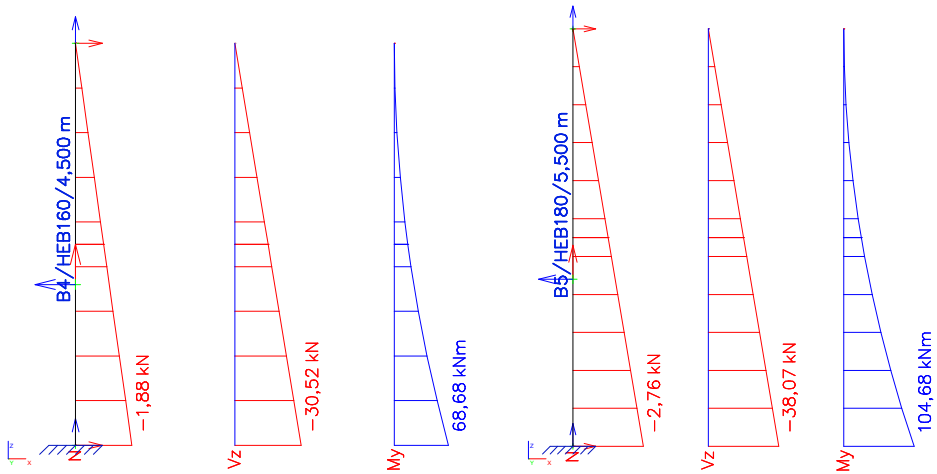
Obr.1 Reakcie so zaťažením pre h=4,0m



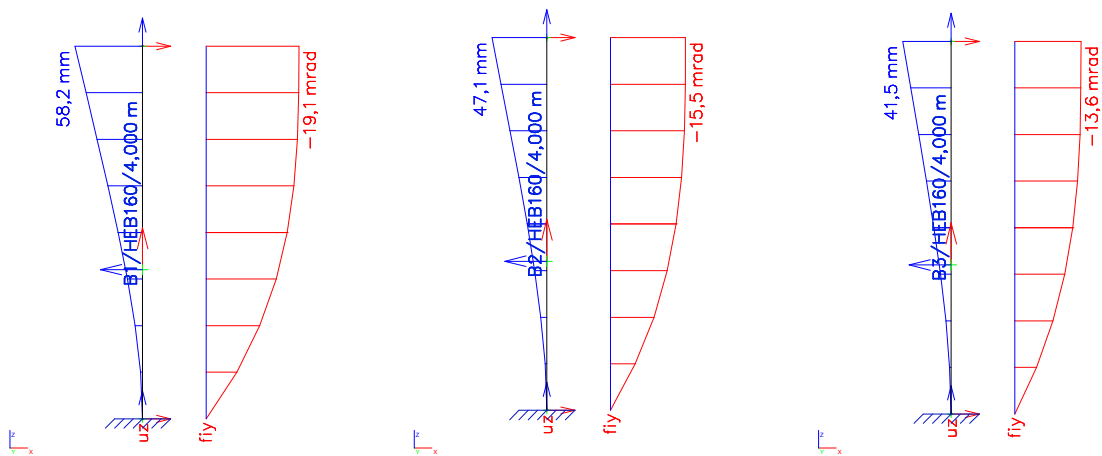
Obr.2 Reakcie so zaťažením pre $h=4,5\text{m}$ a $h=5,5\text{m}$



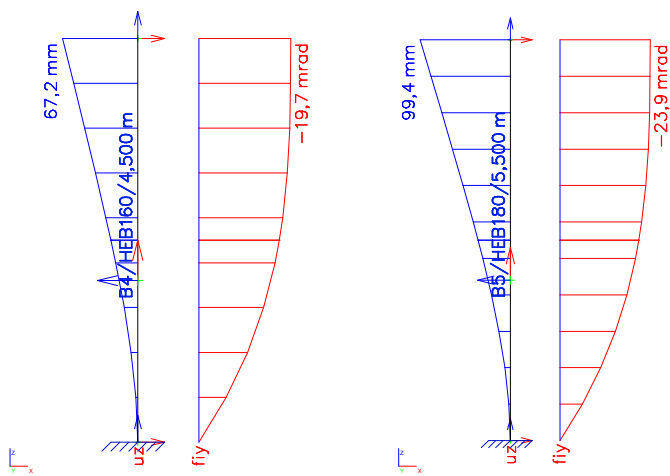
Obr.3 Vnútorné sily pre $h=4,0\text{m}$



Obr.4 Vnútorné sily pre $h=4,5\text{m}$ a $h=5,5\text{m}$



Obr.5 Deformácie pre $h=4,0\text{m}$



Obr.6 Deformácie pre $h=4,5\text{m}$ a $h=5,5\text{m}$

4.8 Posúdenie prierezu

Stav	Prút	css	mat	dx [m]	jed.posudok [-]	pos.prierezu [-]	stab. posudok [-]
CO1/1	B1	CS1 - HEB160	S 235	0,000	0,98	0,90	0,98
CO1/1	B2	CS1 - HEB160	S 235	0,000	0,79	0,73	0,79
CO1/1	B3	CS1 - HEB160	S 235	0,000	0,65	0,64	0,65
CO1/1	B4	CS1 - HEB160	S 235	0,000	0,91	0,83	0,91
CO1/1	B5	CS3 - HEB180	S 355	0,000	0,73	0,61	0,73

Konštrukcia so zvoleným profilom HEB 160 staticky vyhovuje požiadavkám platných noriem.

5. Návrh kotvenia PHS pre $h=4,0\text{m}$ a $4,5\text{m}$

5.1 Použitý materiál

Základný materiál - betón C30/37

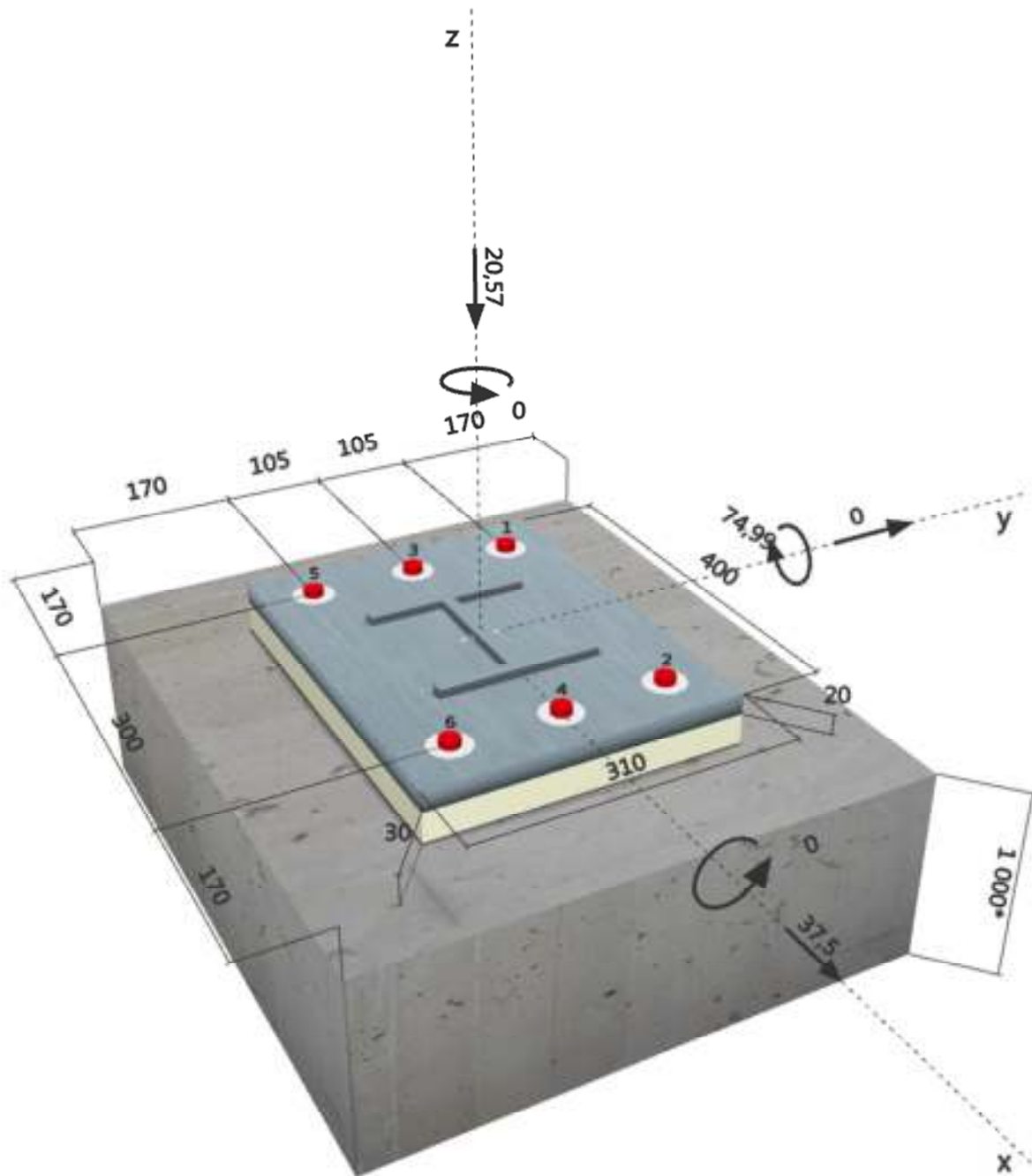
Profil: HEB 160 mm x 160 mm x 13 mm x 13 mm

Kotevná platňa: ocel S 235

Hrúbka kotevnej platne: $t=20\text{ mm}$

Kotevná skrutka: M22, (8.8)

5.2 Statická schéma



5.3 Zaťaženie

Podpera	Stav	Rx [kN]	Rz [kN]	My [kNm]
Sn1/N1	CO1/1	37,50	20,57	74,99

5.4 Posúdenie kotvenia

5.4.1 Hodnoty použité na výpočet

- medza pevnosti skrutky (8.8): $f_{ub} = 800 \text{ MPa}$
- medza klzu skrutky (8.8): $f_{yb} = 640 \text{ MPa}$
- plocha jadra skrutky (8.8): $M22 \rightarrow A_s = 303 \text{ mm}^2$
- parciálny súčinatel' spoľahlivosti (odolnosť skrutiek): $\gamma_{M2} = 1,25$
- medza pevnosti kotevnej platne (S235): $f_u = 360 \text{ MPa}$
- medza klzu kotevnej platne (S235): $f_y = 235 \text{ MPa}$

5.4.2 Posúdenie odolnosti proti strihu

- únosnosť jednej skrutky:

$$F_{v,Rd} = \frac{\alpha_v * f_{ub} * A_s}{\gamma_{M2} * 1000} = \frac{0,6 * 800 * 303}{1,25 * 1000} = 116,352 \text{ kN}$$

$\alpha_v = 0,6$ pre pevnostnú triedu 8.8

- počet skrutiek prenášajúcich danú silu: $n = 6$

- únosnosť celého spoja:

$$F_{v,Ed} \leq F_{v,Rd}$$

$$37,50 \text{ kN} \leq 6 * 116,352 \text{ kN} \rightarrow 37,50 \text{ kN} \leq 698,112 \text{ kN}$$

Spoj vyhovuje na odolnosť proti strihu.

5.4.3 Posúdenie odolnosti proti otlačeniu

- únosnosť jednej skrutky:

$$F_{b,Rd} = \frac{k_1 * \alpha_b * f_u * d * t}{\gamma_{M2} * 1000} = \frac{2,5 * 0,758 * 360 * 22 * 20}{1,25 * 1000} = 240,134 \text{ kN}$$

$$\alpha_b = \text{najmenšia z hodnôt: } \alpha_d = \frac{e_1}{3 * d_0} = \frac{50}{3 * 22} = 0,758$$

$$\frac{f_{ub}}{f_u} = \frac{800}{360} = 2,222$$

1,0

$$k_1 = \text{najmenšia z hodnôt: } 2,8 * \frac{e_2}{d_0} - 1,7 = 2,8 * \frac{50}{22} - 1,7 = 4,664$$

$$1,4 * \frac{p_2}{d_0} - 1,7 = 1,4 * \frac{105}{22} - 1,7 = 5,027$$

2,5

- počet skrutiek prenášajúcich danú silu: $n = 6$

- únosnosť celého spoja:

$$F_{v,Ed} \leq F_{b,Rd}$$

$$37,50 \text{ kN} \leq 6 * 240,134 \text{ kN} \rightarrow 37,50 \text{ kN} \leq 1440,807 \text{ kN}$$

Spoj vyhovuje na odolnosť proti otlačeniu.

5.4.4 Posúdenie odolnosti proti tahu

- únosnosť jednej skrutky:

$$F_{t,Rd} = \frac{k_2 * f_{ub} * A_s}{\gamma_{M2} * 1000} = \frac{0,9 * 800 * 303}{1,25 * 1000} = 174,528 \text{ kN}$$
$$k_2 = 0,9$$

- počet skrutiek prenášajúcich danú silu: n = 3

- únosnosť celého spoja:

$$\frac{F_{t,Ed}}{74,99} \leq \frac{F_{t,Rd}}{0,15} \leq 3 * 174,528 \text{ kN} \rightarrow 499,933 \text{ kN} \leq 523,584 \text{ kN}$$

Spoj vyhovuje na odolnosť proti tahu.

5.4.5 Posúdenie odolnosti proti pretlačeniu matice

- únosnosť jednej skrutky:

$$B_{p,Rd} = \frac{0,6 * \pi * d_m * t_p * f_u}{\gamma_{M2} * 1000} = \frac{0,6 * \pi * 36 * 20 * 360}{1,25 * 1000} = 390,864 \text{ kN}$$
$$d_m = 36\text{mm}, t_p = 20\text{mm}$$

- počet skrutiek prenášajúcich danú silu: n = 3

- únosnosť celého spoja:

$$\frac{F_{t,Ed}}{74,99} \leq \frac{B_{p,Rd}}{0,15} \leq 3 * 390,864 \text{ kN} \rightarrow 499,933 \text{ kN} \leq 1172,592 \text{ kN}$$

Spoj vyhovuje na odolnosť proti pretlačeniu matice.

5.4.6 Posúdenie kombinácie strihu a tahu

$$\frac{F_{v,Ed}}{F_{v,Rd}} + \frac{F_{t,Ed}}{1,4 * F_{t,Rd}} \leq 1,0$$
$$\frac{37,50}{116,352} + \frac{499,933}{1,4 * 174,528} \leq 1,0$$

- počet skrutiek prenášajúcich strih: n = 6

- počet skrutiek prenášajúcich tahu: n = 3

- únosnosť celého spoja

$$\frac{F_{v,Ed}}{6 * F_{v,Rd}} + \frac{F_{t,Ed}}{3 * 1,4 * F_{t,Rd}} \leq 1,0$$
$$\frac{37,50}{6 * 116,352} + \frac{499,933}{3 * 1,4 * 174,528} \leq 1,0 \rightarrow 0,054 + 0,682 \leq 1,0 \rightarrow 0,74 \leq 1,0$$

Spoj vyhovuje na odolnosť proti kombinácii strihu a tahu.

Kotvenie konštrukcie vyhovuje požiadavkám platných noriem.

6. Návrh kotvenia PHS pre h=5,5m

6.1 Súčinitele výpočtu

Uvažovány dle normy EN 1992-1-1.

Dĺží součinitel betonu $\gamma_C = 1.5 [-]$

Dĺží součinitel oceli $\gamma_S = 1.15 [-]$

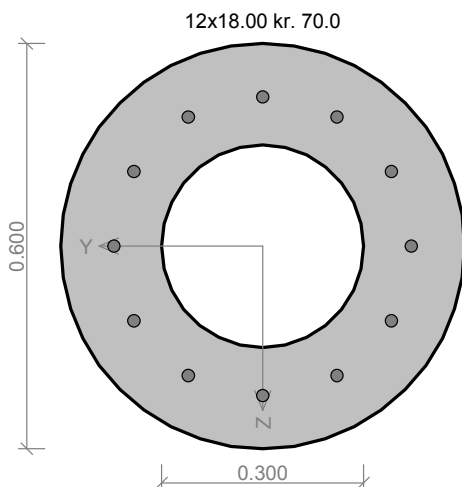
Součinitel tlakové pevnosti betonu $\alpha_{cc} = 1 [-]$

Dílčí součinitel modulu pružnosti betonu $\gamma_{CE} = 1.2 [-]$

6.2 Vstupné údaje

Typ prvku: pilota
 Prostředí: XC4, XF1, XA1
 Požadovaná třída betonu: C30/37

Průřez



Materiály

Beton : C 20/25

Válcová pevnost v tlaku $f_{ck} = 20.0 \text{ MPa}$

Pevnost v tahu $f_{ct} = 2.2 \text{ MPa}$

Modul pružnosti $E_{cm} = 30000.0 \text{ MPa}$

Ocel podélná : B500

Mez kluzu $f_{yk} = 500.0 \text{ MPa}$

Modul pružnosti $E = 200000.0 \text{ MPa}$

Ocel příčná : B500

Mez kluzu $f_{yk} = 500.0 \text{ MPa}$

Modul pružnosti $E = 200000.0 \text{ MPa}$

Vnitřní síly - návrhová (MSÚ)

č.	Název zatěžovacího případu	N_{Ed} [kN]	V_{Edz} [kN]	V_{Edy} [kN]	M_{Edy} [kNm]	M_{Edz} [kNm]	T_{Ed} [kNm]	QP koef. [-]
1	Zat. případ 1	-25.96	38.07	0.00	104.68	0.00	0.00	1.000

Vyztužení průřezu

Kruh: 12ks × profil 18.0, krytí 70.0 mm

S tlačenou výzvuží není počítáno.

Smyková výzvuž

Třmínky

Profil: 8.0 mm; Vzdálenost: 0.15 m; Svislé stříhy: 2; Vodor. stříhy: 2

Minimální krytí

Třída konstrukce: S4

$$c_{min} = \max(c_{min,b}; c_{min,dur}; 10) = \max(18; 30; 10) = 30 \text{ mm}$$

$$c_{nom} = c_{min} + \Delta c_{dev} = 30 + 10 = 40 \text{ mm}$$

6.3 Posúdenie kotvenia

Posouzení min. a max. stupňa vyztužení

Sloup (celková výzvuž):

$$\rho_{s,min} = 0.002 \leq \rho_s = 0.0144 \leq \rho_{s,max} = 0.04 \Rightarrow \text{VYHOUVUJE}$$

Posouzení vzdáleností vložek

Vzdálenosti mezi vložkami vyhovují.

Posouzení konstrukčních zásad třmínku

Minimální průměr třmínku $d = 6.00 \text{ mm} \Rightarrow \text{VYHOVUJE}$

Maximální vzdálenost třmínků $s_{cl,max} = 0.36 \text{ m} \Rightarrow \text{VYHOVUJE}$

Posouzení mezního stavu únosnosti

č.	Název	N_{Ed} N_{Rd} [kN]	V_{Edz} V_{Rdz} [kN]	V_{Edy} V_{Rdy} [kN]	M_{Edy} M_{Rdy} [kNm]	M_{Edz} M_{Rdz} [kNm]	T_{Ed} TR_d [kNm]	Posouzení
1	Zat. případ 1	-25.96 -2825.14	38.07 239.39	0.00 0.00	104.68 250.35	-0.52 -1.24	0.00 0.00	Vyhovuje

Mezní stav únosnosti (ohyb, smyk, kroucení) VYHOVUJE

Celkové posouzení - Průřez VYHOVUJE

Využití průřezu: 48.1 %

Kotvenie konštrukcie vyhovuje požiadavkám platných noriem.

7. Návrh zakladania PHS

7.1 Použitá výpočtová metóda

Na výpočet bol použitý program GEO 5, modul Pilota.

Výpočet proveden podľa teorie mezních stavov s redukcí vstupných parametrov zemin.

Součinitel redukce úhlu vnútorného trení $\gamma_{m\phi} = 1.10$

Součinitel redukce soudržnosti $\gamma_{mc} = 1.40$

7.2 Použitý materiál

betón – C20/25 XC2

Válcová pevnosť v tlaku $f_{ck} = 20.00 \text{ MPa}$

Pevnosť v tahu $f_{ct} = 2.20 \text{ MPa}$

Modul pružnosti $E_{cm} = 29000.00 \text{ MPa}$

betonárská výstuž – B 500

Mez kluzu $f_{yk} = 500.00 \text{ MPa}$

Modul pružnosti $E = 200000.00 \text{ MPa}$

7.3 Návrh a posúdenie pilót pre SO 251-00

Geometria a rozmerы konštrukcie:

Profil piloty: kruhová

Průměr $d = 0.60 \text{ m}$

Délka $l = 5.00 \text{ m}$

Vysazení $h = 0.10 \text{ m}$

Hloubka upraveného terénu $h_Z = 0.00 \text{ m}$

Redukce odporu na patě = 0.80

Redukce odporu na pláští = 0.60

Modul reakcie podloží uvažovaný ako konstantný.

Zatížení

Číslo	Zatížení nové	Zatížení změna	Název	Typ	N [kN]	M _x [kNm]	M _y [kNm]	H _x [kN]	H _y [kN]
1	ANO		Stíp + panely	Výpočtové	25.96	0.00	104.68	38.07	0.00

Základní parametry zemin

Číslo	Název	Vzorek	φ_{ef} [°]	c_{ef} [kPa]	γ [kN/m ³]	γ_{su} [kN/m ³]
1	Íl so strednou až nízkou plasticitou, pevný F6CL		19.00	16.00	21.00	11.20

Číslo	Název	Vzorek	φ_{ef} [°]	c_{ef} [kPa]	γ [kN/m ³]	γ_{su} [kN/m ³]
2	Piesok ílovitý, vápnitý S5SC		27.00	5.00	18.50	8.70
3	Silt piesčitý, s vápnitými konkréciemi, tuhý F3MS		25.00	14.00	18.00	8.20
4	Íl piesčitý, pevný F4CS		24.00	18.00	18.50	8.70

Pro výpočet tlaku v klidu jsou všechny zeminy zadány jako nesoudržné.

Číslo	Název	Vzorek	E_{oed} [MPa]	E_{def} [MPa]	γ_{sat} [kN/m ³]	γ_s [kN/m ³]	n [-]
1	Íl so strednou až nízkou plasticitou, pevný F6CL		-	8.00	21.20	-	-
2	Piesok ílovitý, vápnitý S5SC		-	8.00	18.70	-	-
3	Silt piesčitý, s vápnitými konkréciemi, tuhý F3MS		-	7.00	18.20	-	-
4	Íl piesčitý, pevný F4CS		-	8.00	18.70	-	-

Parametry zemin pro výpočet modulu reakce podloží

Číslo	Název	Vzorek	β
1	Íl so strednou až nízkou plasticitou, pevný F6CL		0.47
2	Piesok ílovitý, vápnitý S5SC		0.62
3	Silt piesčitý, s vápnitými konkréciemi, tuhý F3MS		0.62
4	Íl piesčitý, pevný F4CS		0.62

Parametry zemin

Íl so strednou až nízkou plasticitou, pevný F6CL

Objemová třída : γ = 21.00 kN/m³

Úhel vnitřního tření : φ_{ef} = 19.00 °

Soudržnost zeminy : c_{ef} = 16.00 kPa

Poissonovo číslo : ν = 0.40

Modul přetvárnosti : E_{def} = 8.00 MPa

Obj.třha sat.zeminy : γ_{sat} = 21.20 kN/m³

Úhel roznášení : β = 0.47 °

Piesok ílovitý, vápnitý S5SC

Objemová tíha : γ = 18.50 kN/m³

Úhel vnitřního tření : φ_{ef} = 27.00 °

Soudržnost zeminy : c_{ef} = 5.00 kPa

Poissonovo číslo : ν = 0.35

Modul přetvárnosti : E_{def} = 8.00 MPa

Obj.tíha sat.zeminy : γ_{sat} = 18.70 kN/m³

Úhel roznášení : β = 0.62 °

Silt piesčitý, s vápnitými konkréciemi, tuhý F3MS

Objemová tíha : γ = 18.00 kN/m³

Úhel vnitřního tření : φ_{ef} = 25.00 °

Soudržnost zeminy : c_{ef} = 14.00 kPa

Poissonovo číslo : ν = 0.35

Modul přetvárnosti : E_{def} = 7.00 MPa

Obj.tíha sat.zeminy : γ_{sat} = 18.20 kN/m³

Úhel roznášení : β = 0.62 °

Íl piesčitý, pevný F4CS

Objemová tíha : γ = 18.50 kN/m³

Úhel vnitřního tření : φ_{ef} = 24.00 °

Soudržnost zeminy : c_{ef} = 18.00 kPa

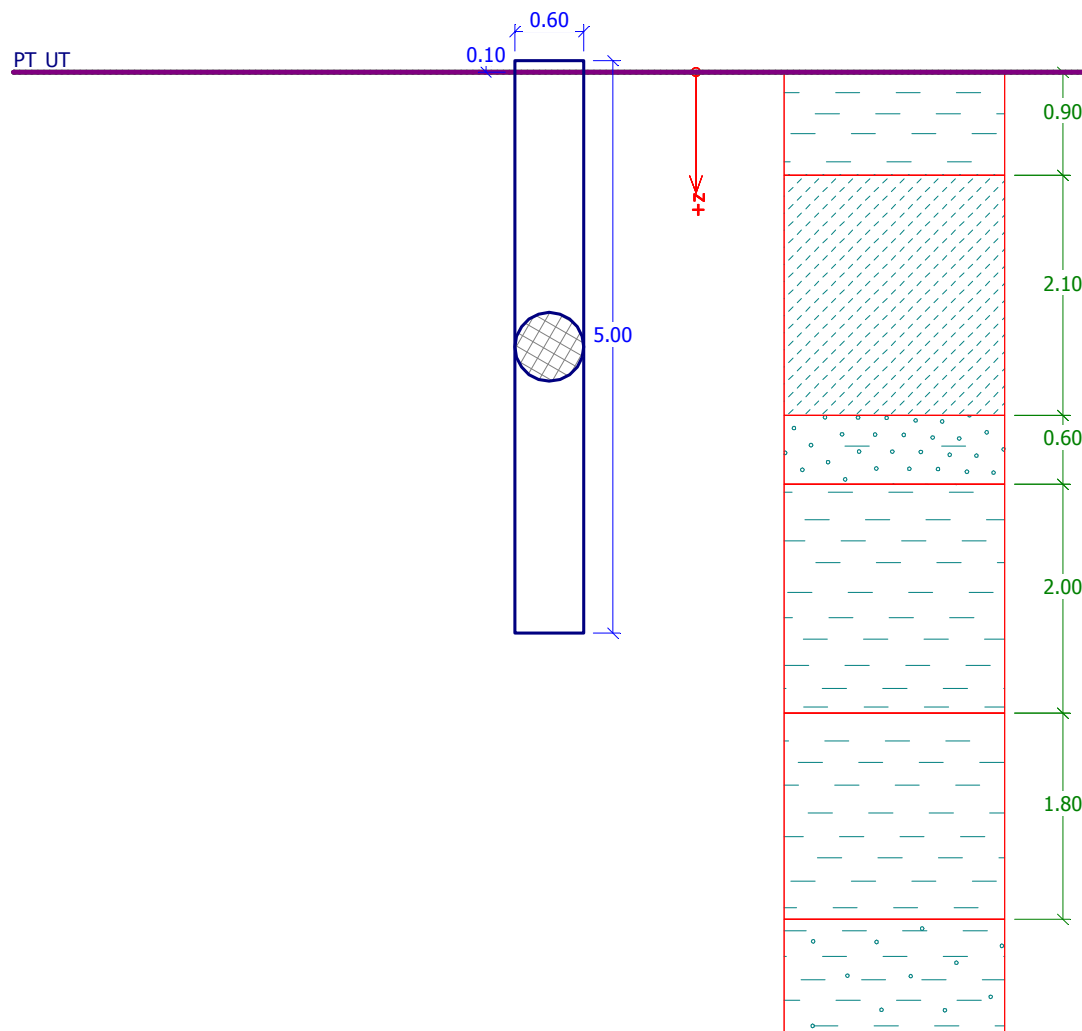
Poissonovo číslo : ν = 0.35

Modul přetvárnosti : E_{def} = 8.00 MPa

Obj.tíha sat.zeminy : γ_{sat} = 18.70 kN/m³

Úhel roznášení : β = 0.62 °

Geologický profil a přiřazení zemin



Číslo	Vrstva [m]	Přiřazená zemina	Vzorek
1	0.90	Íl so strednou až nízkou plasticitou, pevný F6CL	— —
2	2.10	Silt piesčitý, s vápnitými konkréciemi, tuhý F3MS	/ \ / \ / \ /
3	0.60	Piesok ílovitý, vápnitý S5SC	○ ○ ○ ○ ○ ○
4	2.00	Íl so strednou až nízkou plasticitou, pevný F6CL	— —
5	1.80	Íl so strednou až nízkou plasticitou, pevný F6CL	— —
6	-	Íl piesčitý, pevný F4CS	— — ○ — —

Posouzení čís. 1

Posouzení svislé únosnosti piloty podle teorie MS - mezivýsledky

Výpočet únosnosti v patě:

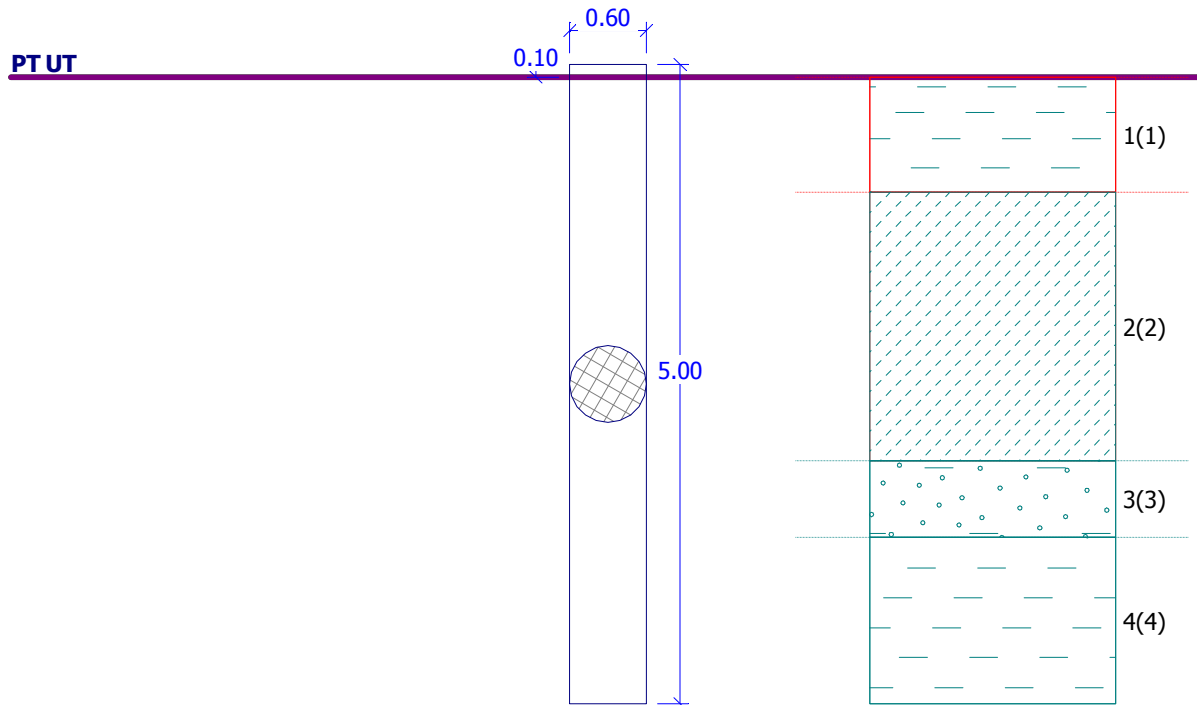
$$\begin{aligned} \text{Součinitel únosnosti} & N_c = 10.12 \\ \text{Součinitel únosnosti} & N_d = 3.44 \\ \text{Součinitel únosnosti} & N_b = 0.88 \\ \text{Součinitel únosnosti} & K_1 = 1.10 \end{aligned}$$

$$\text{Výpočtová únosnost na patě piloty } R_d = 505.46 \text{ kPa}$$

$$\text{Plocha příčného řezu piloty } A_s = 2.827E-01 \text{ m}^2$$

Únosnost na plášti piloty:

$$\text{Zkrácení účinné délky piloty } L_p [m] = 0.34 \text{ m}$$



Hloubka [m]	Mocnost [m]	ϕ_d [°]	c_d [kPa]	γ [kN/m³]	γR_2 [-]	f_s [kPa]	U_{fd} [kN]
0.90	0.90	13.57	8.00	21.00	1.30	8.04	13.65
1.00	0.10	17.86	7.00	18.00	1.30	10.65	2.01
2.00	1.00	17.86	7.00	18.00	1.20	13.73	25.87
3.00	1.00	17.86	7.00	18.00	1.10	19.04	35.89
3.60	0.60	19.29	2.50	18.50	1.00	20.43	23.11
4.56	0.96	13.57	8.00	21.00	1.00	23.57	42.56

Posouzení svislé únosnosti piloty podle teorie MS - výsledky

Výpočet proveden s automatickým výběrem nejnepříznivějších zatěžovacích stavů.

Součinitel vlivu technologie GamaR1 = 1.20

Únosnost piloty na plášti $U_{fd} = 143.08 \text{ kN}$

Únosnost piloty v patě $U_{bd} = 157.21 \text{ kN}$

Únosnost piloty $U_{vd} = 300.29 \text{ kN}$

Extrémní svislá síla $V_d = 25.96 \text{ kN}$

$U_{Vd} = 300.29 \text{ kN} > 25.96 \text{ kN} = V_d$

Svislá únosnost plovoucí piloty VYHOVUJE

Posouzení čís. 1

Vstupní data pro výpočet vodorovné únosnosti piloty

Výpočet proveden s automatickým výběrem nejnepříznivějších zatěžovacích stavů.
Vodorovná únosnost posouzena ve směru maximálního účinku zatížení.

Průběhy vnitřních sil a deformace piloty

Průběh deformací a vnitřních sil po pilotě:

Vzdál. [m]	Modul k [MN/m ³]	Deformace [mm]	Pootoč. [mRad]	Napětí [kPa]	Pos.síla [kN]	Moment [kNm]
0.00	0.00	-0.05	-0.83	0.53	-38.07	-104.68
0.10	0.00	-0.13	-0.77	1.76	-37.98	-100.88
0.10	19.68	-0.13	-0.77	1.76	-37.98	-100.88
0.25	19.68	-0.24	-0.69	3.60	-37.85	-95.18
0.25	19.68	-0.24	-0.69	3.60	-37.85	-95.18
0.50	19.68	-0.40	-0.57	7.91	-36.88	-85.83
0.50	19.68	-0.40	-0.57	7.91	-36.88	-85.83
0.75	19.68	-0.53	-0.46	10.44	-35.50	-76.78
0.75	19.68	-0.53	-0.46	10.44	-35.50	-76.78
1.00	19.68	-0.63	-0.36	11.66	-33.78	-68.11
1.00	17.13	-0.63	-0.36	11.66	-33.78	-68.11
1.25	17.13	-0.71	-0.28	12.21	-32.04	-59.88
1.25	17.13	-0.71	-0.28	12.21	-32.04	-59.88
1.50	17.13	-0.77	-0.20	13.23	-30.13	-52.11
1.50	17.13	-0.77	-0.20	13.23	-30.13	-52.11
1.75	17.13	-0.81	-0.13	13.94	-28.09	-44.83
1.75	17.13	-0.81	-0.13	13.94	-28.09	-44.83
2.00	17.13	-0.84	-0.08	14.40	-25.96	-38.07
2.00	17.13	-0.84	-0.08	14.40	-25.96	-38.07
2.25	17.13	-0.85	-0.03	14.63	-23.78	-31.85
2.25	17.13	-0.85	-0.03	14.63	-23.78	-31.85
2.50	17.13	-0.86	0.01	14.68	-21.58	-26.18
2.50	17.13	-0.86	0.01	14.68	-21.58	-26.18
2.75	17.13	-0.85	0.04	14.57	-19.38	-21.06
2.75	17.13	-0.85	0.04	14.57	-19.38	-21.06
3.00	17.13	-0.84	0.07	14.85	-17.21	-16.49
3.00	17.13	-0.84	0.07	14.85	-17.21	-16.49
3.10	17.13	-0.83	0.07	15.12	-16.30	-14.88
3.10	19.58	-0.83	0.07	15.12	-16.30	-14.88
3.25	19.58	-0.82	0.08	15.52	-14.93	-12.47

Vzdál. [m]	Modul k [MN/m ³]	Deformace [mm]	Pootoč. [mRad]	Napětí [kPa]	Pos.síla [kN]	Moment [kNm]
3.25	19.58	-0.82	0.08	15.52	-14.93	-12.47
3.50	19.58	-0.80	0.10	15.59	-12.56	-9.03
3.50	19.58	-0.80	0.10	15.59	-12.56	-9.03
3.70	19.58	-0.77	0.11	15.21	-10.72	-6.75
3.70	19.68	-0.77	0.11	15.21	-10.72	-6.75
3.75	19.68	-0.77	0.11	15.11	-10.26	-6.18
3.75	19.68	-0.77	0.11	15.11	-10.26	-6.18
4.00	19.68	-0.74	0.12	14.57	-8.03	-3.90
4.00	19.68	-0.74	0.12	14.57	-8.03	-3.90
4.25	19.68	-0.71	0.12	13.99	-5.89	-2.16
4.25	19.68	-0.71	0.12	13.99	-5.89	-2.16
4.50	19.68	-0.68	0.12	13.39	-3.84	-0.94
4.50	19.68	-0.68	0.12	13.39	-3.84	-0.94
4.75	19.68	-0.65	0.12	12.79	-1.87	-0.23
4.75	19.68	-0.65	0.12	12.79	-1.87	-0.23
5.00	19.68	-0.62	0.12	12.18	-0.00	-0.00

Maximální vnitřní síly a deformace:

Deformace hlavy piloty = -0.1 mm

Max.deformace piloty = 0.9 mm

Max.posouvající síla = 38.07 kN

Maximální moment = 104.68 kNm

Dimenzace výzvuže:

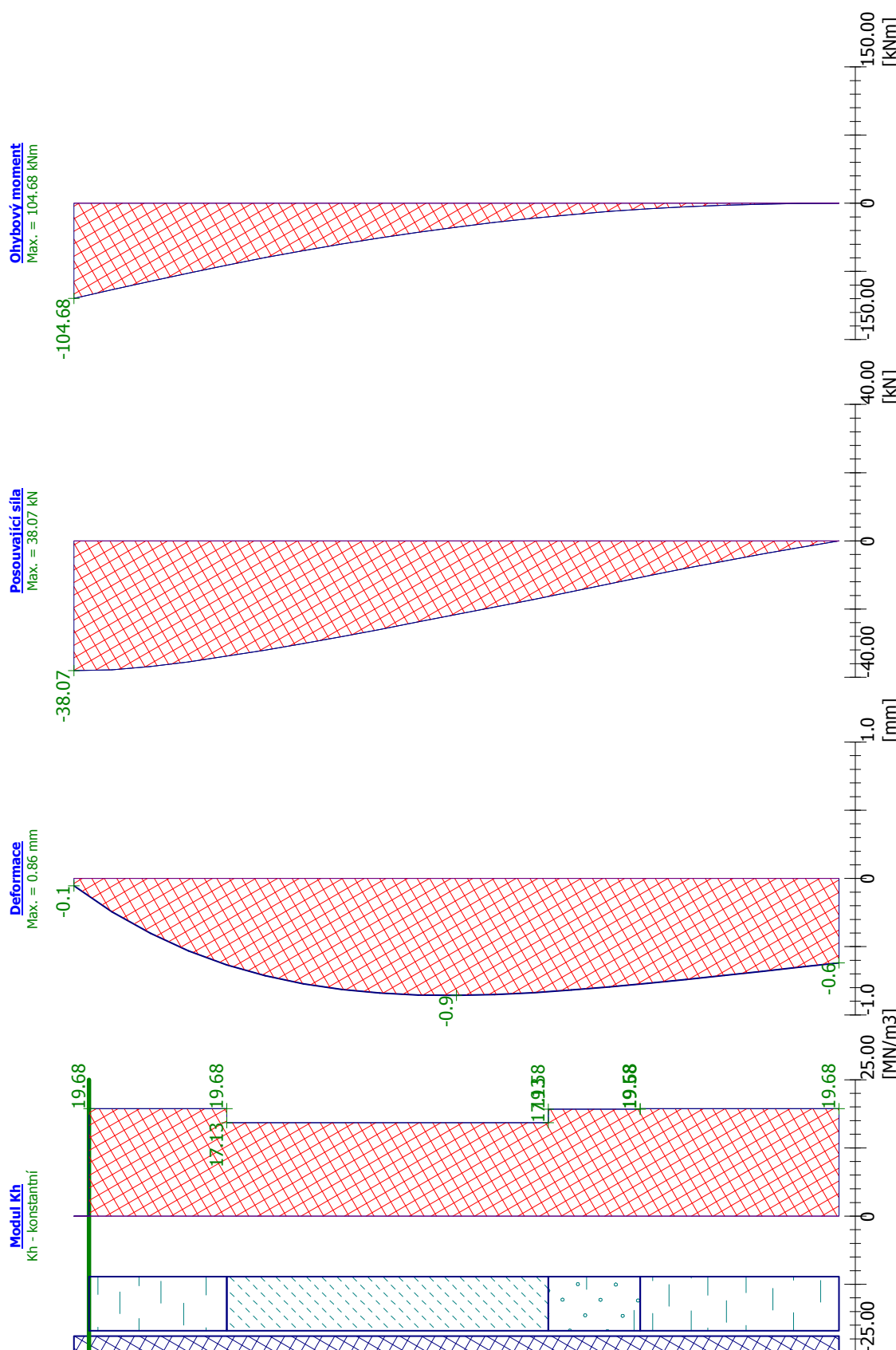
Vyztužení - 12 ks profil 18.0 mm; krytí 65.0 mm

Stupeň vyztužení $\rho = 0.540\% > 0.130\% = \rho_{min}$

Zatížení : $N_{Ed} = -25.96\text{ kN}$ (tlak) ; $M_{Ed} = 104.68\text{ kNm}$

Únosnost : $N_{Rd} = -60.94\text{ kN}$; $M_{Rd} = 245.71\text{ kNm}$

Navržená výzvuž piloty VYHOVUJE



7.4 Návrh a posúdenie pilót pre SO 252-00 a SO 253-00

Geometria a rozmery konštrukcie:

Profil piloty: kruhová

Průměr d = 0.60 m

Délka l = 4.50 m

Vysazení h = 0.10 m

Hloubka upraveného terénu h_Z = 0.00 m

Redukce odporu na patě = 0.80

Redukce odporu na pláště = 0.60

Modul reakce podloží uvažován jako konstantní.

Zatížení

Číslo	Zatížení nové změna	Název	Typ	N [kN]	M _x [kNm]	M _y [kNm]	H _x [kN]	H _y [kN]
1	ANO	Stíp + panely	Výpočtové	20.57	0.00	74.99	37.50	0.00

Základní parametry zemin

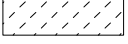
Číslo	Název	Vzorek	φ _{ef} [°]	c _{ef} [kPa]	γ [kN/m ³]	γ _{su} [kN/m ³]
1	Íl so strednou až nízkou plasticitou, pevný F6CL		19.00	16.00	21.00	11.20
2	Piesok ílovitý, vápnitý S5SC		27.00	5.00	18.50	8.70
3	Silt piesčitý, s vápnitými konkréciemi, tuhý F3MS		25.00	14.00	18.00	8.20

Pro výpočet tlaku v klidu jsou všechny zeminy zadány jako nesoudržné.

Číslo	Název	Vzorek	E _{oed} [MPa]	E _{def} [MPa]	γ _{sat} [kN/m ³]	γ _s [kN/m ³]	n [-]
1	Íl so strednou až nízkou plasticitou, pevný F6CL		-	8.00	21.20	-	-
2	Piesok ílovitý, vápnitý S5SC		-	8.00	18.70	-	-
3	Silt piesčitý, s vápnitými konkréciemi, tuhý F3MS		-	7.00	18.20	-	-

Parametry zemin pro výpočet modulu reakce podloží

Číslo	Název	Vzorek	β
1	Íl so strednou až nízkou plasticitou, pevný F6CL		0.47

Číslo	Název	Vzorek	β
2	Piesok ílovitý, vápnitý S5SC		0.62
3	Silt piesčitý, s vápnitými konkréciemi, tuhý F3MS		0.62

Parametry zemin

Íl so strednou až nízkou plasticitou, pevný F6CL

Objemová tíha : γ = 21.00 kN/m³

Úhel vnitřního tření : φ_{ef} = 19.00 °

Soudržnost zeminy : c_{ef} = 16.00 kPa

Poissonovo číslo : ν = 0.40

Modul přetvárnosti : E_{def} = 8.00 MPa

Obj.tíha sat.zeminy : γ_{sat} = 21.20 kN/m³

Úhel roznášení : β = 0.47 °

Piesok ílovitý, vápnitý S5SC

Objemová tíha : γ = 18.50 kN/m³

Úhel vnitřního tření : φ_{ef} = 27.00 °

Soudržnost zeminy : c_{ef} = 5.00 kPa

Poissonovo číslo : ν = 0.35

Modul přetvárnosti : E_{def} = 8.00 MPa

Obj.tíha sat.zeminy : γ_{sat} = 18.70 kN/m³

Úhel roznášení : β = 0.62 °

Silt piesčitý, s vápnitými konkréciemi, tuhý F3MS

Objemová tíha : γ = 18.00 kN/m³

Úhel vnitřního tření : φ_{ef} = 25.00 °

Soudržnost zeminy : c_{ef} = 14.00 kPa

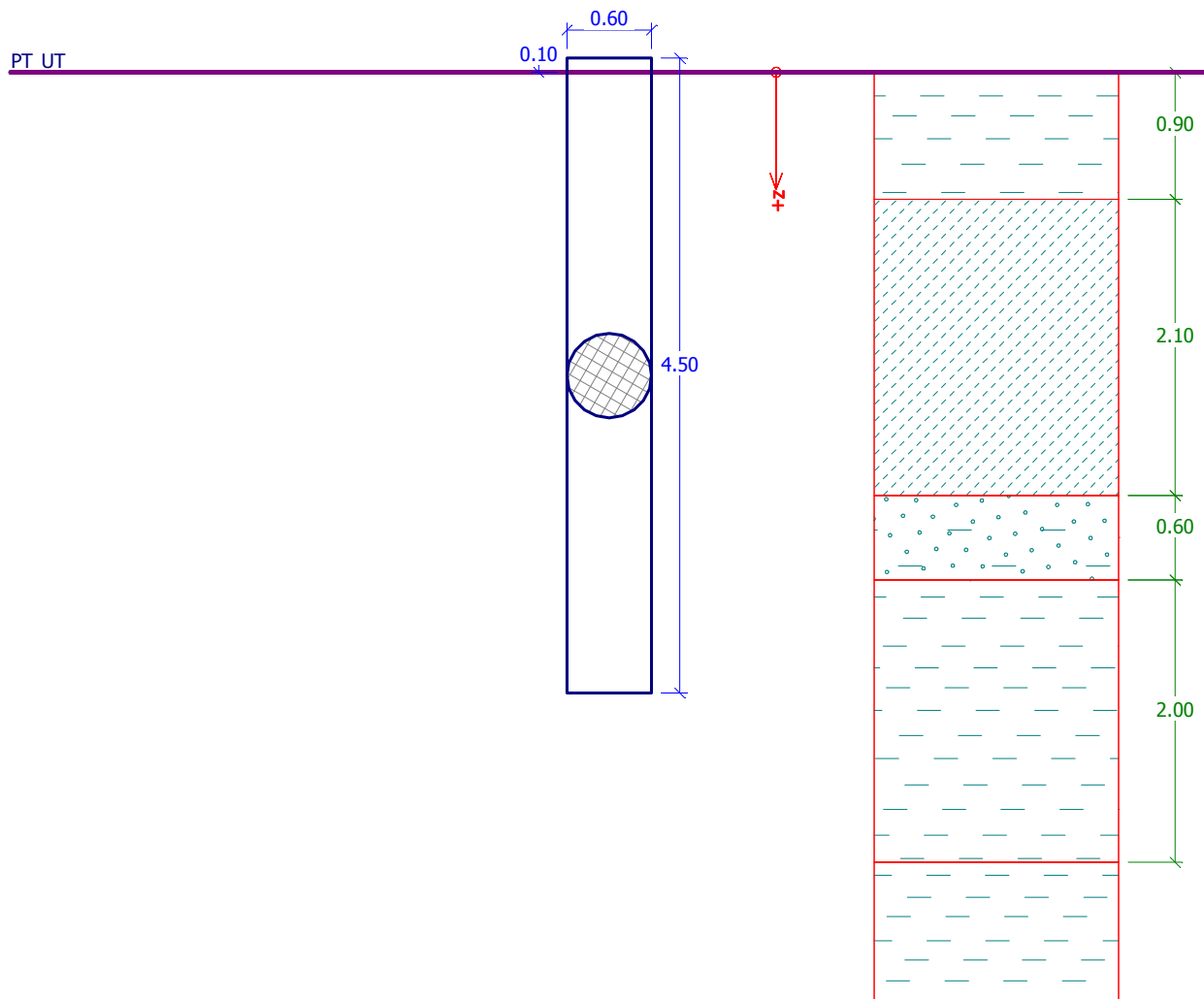
Poissonovo číslo : ν = 0.35

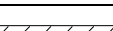
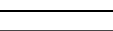
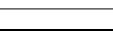
Modul přetvárnosti : E_{def} = 7.00 MPa

Obj.tíha sat.zeminy : γ_{sat} = 18.20 kN/m³

Úhel roznášení : β = 0.62 °

Geologický profil a přiřazení zemin



Číslo	Vrstva [m]	Přiřazená zemina	Vzorek
1	0.90	Íl so strednou až nízkou plasticitou, pevný F6CL	
2	2.10	Silt piesčitý, s vápnitými konkréciemi, tuhý F3MS	
3	0.60	Piesok ílovitý, vápnitý S5SC	
4	2.00	Íl so strednou až nízkou plasticitou, pevný F6CL	
5	-	Íl so strednou až nízkou plasticitou, pevný F6CL	

Posouzení čís. 1

Posouzení svislé únosnosti piloty podle teorie MS - mezivýsledky

Výpočet únosnosti v patě:

$$\text{Součinitel únosnosti} \quad N_c = 10.12$$

$$\text{Součinitel únosnosti} \quad N_d = 3.44$$

$$\text{Součinitel únosnosti} \quad N_b = 0.88$$

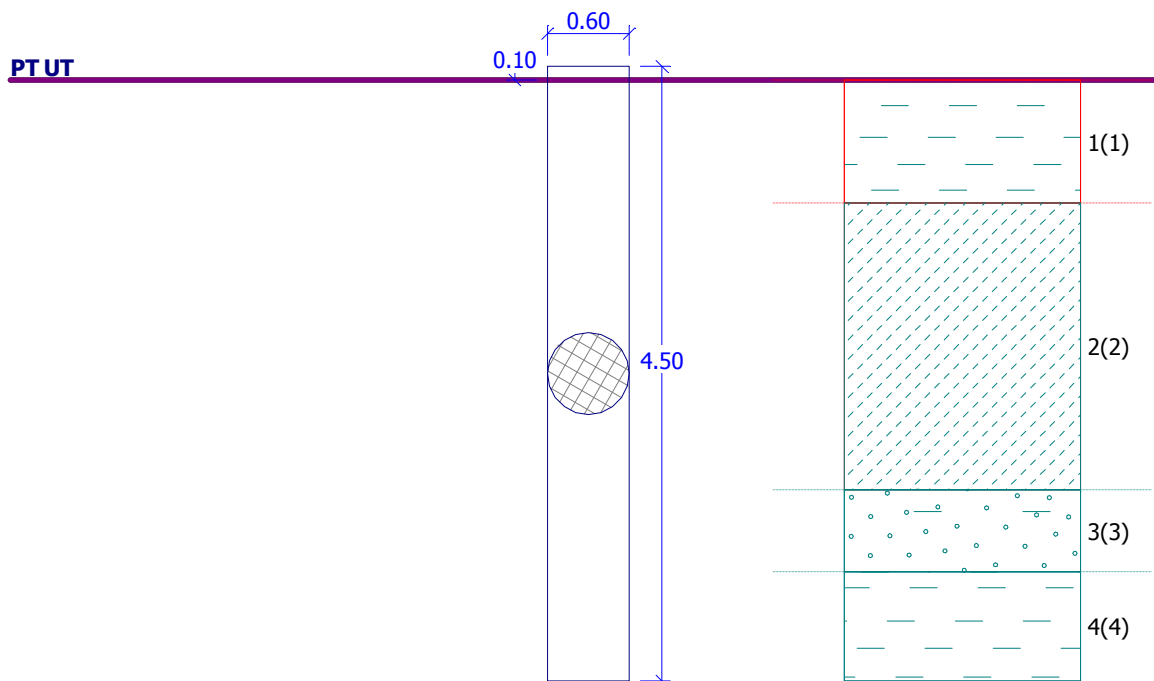
$$\text{Součinitel únosnosti} \quad K_1 = 1.10$$

$$\text{Výpočtová únosnost na patě piloty} \quad R_d = 460.81 \text{ kPa}$$

$$\text{Plocha příčného řezu piloty} \quad A_s = 2.827E-01 \text{ m}^2$$

Únosnost na plášti piloty:

$$\text{Zkrácení účinné délky piloty} \quad L_p [m] = 0.34 \text{ m}$$



Hloubka [m]	Mocnost [m]	ϕ_d [°]	c_d [kPa]	γ [kN/m³]	γR_2 [-]	f_s [kPa]	U_{fdi} [kN]
0.90	0.90	13.57	8.00	21.00	1.30	8.04	13.65
1.00	0.10	17.86	7.00	18.00	1.30	10.65	2.01
2.00	1.00	17.86	7.00	18.00	1.20	13.73	25.87
3.00	1.00	17.86	7.00	18.00	1.10	19.04	35.89
3.60	0.60	19.29	2.50	18.50	1.00	20.43	23.11
4.06	0.46	13.57	8.00	21.00	1.00	22.52	19.44

Posouzení svislé únosnosti piloty podle teorie MS - výsledky

Výpočet proveden s automatickým výběrem nejnepříznivějších zatěžovacích stavů.

Součinitel vlivu technologie GamaR1 = 1.20

Únosnost piloty na plášti $U_{fd} = 119.96 \text{ kN}$

Únosnost piloty v patě $U_{bd} = 143.32 \text{ kN}$

Únosnost piloty $U_{vd} = 263.28 \text{ kN}$

Extrémní svislá síla $V_d = 20.57 \text{ kN}$

$U_{Vd} = 263.28 \text{ kN} > 20.57 \text{ kN} = V_d$

Svislá únosnost plovoucí piloty VYHOVUJE

Posouzení čís. 1

Vstupní data pro výpočet vodorovné únosnosti piloty

Výpočet proveden s automatickým výběrem nejnepříznivějších zatěžovacích stavů.
Vodorovná únosnost posouzena ve směru maximálního účinku zatížení.

Průběhy vnitřních sil a deformace piloty

Průběh deformací a vnitřních sil po pilotě:

Vzdál. [m]	Modul k [MN/m ³]	Deformace [mm]	Pootoč. [mRad]	Napětí [kPa]	Pos.síla [kN]	Moment [kNm]
0.00	0.00	-0.85	-0.31	8.37	-37.50	-74.99
0.10	0.00	-0.88	-0.28	10.62	-36.98	-71.30
0.10	19.68	-0.88	-0.28	10.62	-36.98	-71.30
0.23	19.68	-0.91	-0.23	13.44	-36.33	-66.68
0.23	19.68	-0.91	-0.23	13.44	-36.33	-66.68
0.45	19.68	-0.95	-0.15	18.76	-33.85	-58.79
0.45	19.68	-0.95	-0.15	18.76	-33.85	-58.79
0.68	19.68	-0.98	-0.08	19.27	-31.28	-51.46
0.68	19.68	-0.98	-0.08	19.27	-31.28	-51.46
0.90	19.68	-0.99	-0.02	18.88	-28.66	-44.71
0.90	19.68	-0.99	-0.02	18.88	-28.66	-44.71
1.00	19.68	-0.99	-0.00	18.31	-27.56	-41.97
1.00	17.13	-0.99	-0.00	18.31	-27.56	-41.97
1.13	17.13	-0.99	0.03	17.61	-26.19	-38.54
1.13	17.13	-0.99	0.03	17.61	-26.19	-38.54
1.35	17.13	-0.98	0.07	16.79	-23.91	-32.91
1.35	17.13	-0.98	0.07	16.79	-23.91	-32.91
1.58	17.13	-0.96	0.11	16.45	-21.66	-27.78
1.58	17.13	-0.96	0.11	16.45	-21.66	-27.78
1.80	17.13	-0.93	0.14	15.98	-19.47	-23.15
1.80	17.13	-0.93	0.14	15.98	-19.47	-23.15
2.03	17.13	-0.90	0.16	15.40	-17.35	-19.01
2.03	17.13	-0.90	0.16	15.40	-17.35	-19.01
2.25	17.13	-0.86	0.18	14.73	-15.32	-15.34
2.25	17.13	-0.86	0.18	14.73	-15.32	-15.34
2.48	17.13	-0.82	0.20	13.99	-13.38	-12.11
2.48	17.13	-0.82	0.20	13.99	-13.38	-12.11
2.70	17.13	-0.77	0.21	13.19	-11.55	-9.31
2.70	17.13	-0.77	0.21	13.19	-11.55	-9.31
2.93	17.13	-0.72	0.22	12.79	-9.82	-6.91

Vzdál. [m]	Modul k [MN/m ³]	Deformace [mm]	Pootoč. [mRad]	Napětí [kPa]	Pos.síla [kN]	Moment [kNm]
2.93	17.13	-0.72	0.22	12.79	-9.82	-6.91
3.10	17.13	-0.68	0.23	12.72	-8.48	-5.34
3.10	19.58	-0.68	0.23	12.72	-8.48	-5.34
3.15	19.58	-0.67	0.23	12.70	-8.10	-4.89
3.15	19.58	-0.67	0.23	12.70	-8.10	-4.89
3.38	19.58	-0.62	0.24	12.08	-6.40	-3.27
3.38	19.58	-0.62	0.24	12.08	-6.40	-3.27
3.60	19.58	-0.56	0.24	11.05	-4.84	-2.00
3.60	19.58	-0.56	0.24	11.05	-4.84	-2.00
3.70	19.58	-0.54	0.24	10.59	-4.20	-1.59
3.70	19.68	-0.54	0.24	10.59	-4.20	-1.59
3.83	19.68	-0.51	0.24	10.02	-3.41	-1.08
3.83	19.68	-0.51	0.24	10.02	-3.41	-1.08
4.05	19.68	-0.46	0.24	8.97	-2.13	-0.46
4.05	19.68	-0.46	0.24	8.97	-2.13	-0.46
4.28	19.68	-0.40	0.24	7.90	-0.99	-0.11
4.28	19.68	-0.40	0.24	7.90	-0.99	-0.11
4.50	19.68	-0.35	0.24	6.83	-0.00	-0.00

Maximální vnitřní síly a deformace:

Deformace hlavy piloty = -0.9 mm

Max.deformace piloty = 1.0 mm

Max.posouvající síla = 37.50 kN

Maximální moment = 74.99 kNm

Dimenzace výzvuže:

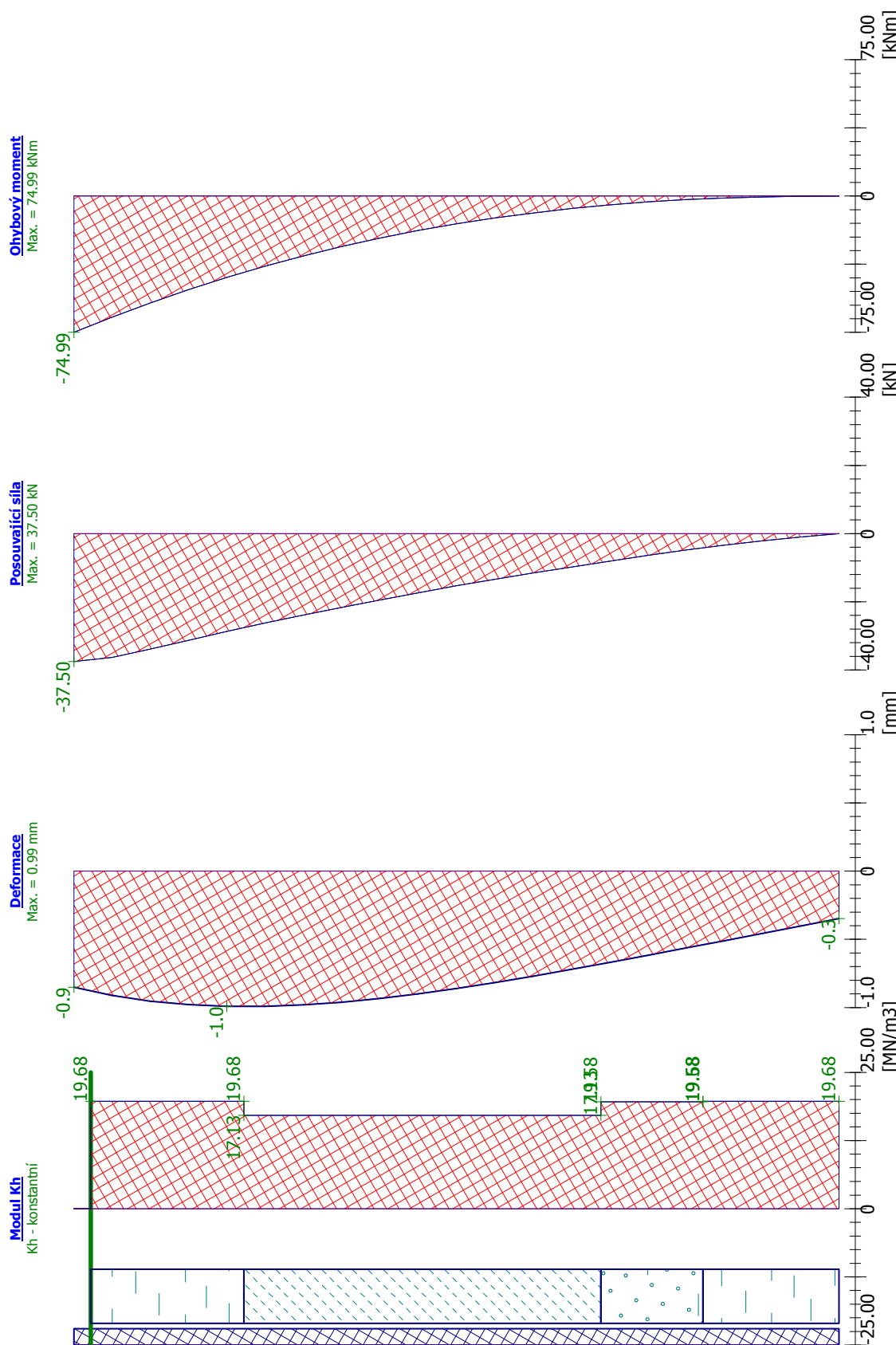
Vyztužení - 12 ks profil 18.0 mm; krytí 65.0 mm

Stupeň vyztužení $\rho = 0.540 \% > 0.130 \% = \rho_{min}$

Zatížení : $N_{Ed} = -20.57$ kN (tlak) ; $M_{Ed} = 74.99$ kNm

Únosnost : $N_{Rd} = -67.61$ kN; $M_{Rd} = 246.48$ kNm

Navržená výzvuž piloty VYHOVUJE



8. Záver

Tento statický výpočet preukazuje, že navrhnutá konštrukcia staticky vyhovuje požiadavkám platných noriem.

November 2011
V Bratislave

Vypracoval
Ing. Peter Szabó